

O'ZBEKISTON RESPUBLIKASI
OLIY TA'LIM, FAN VA INNOVATSIYALAR VAZIRLIGI
FARG'ONA DAVLAT UNIVERSITETI

**FarDU.
ILMIY
XABARLAR**

1995-yildan nashr etiladi
Yilda 6 marta chiqadi

5-2023

**НАУЧНЫЙ
ВЕСТНИК.
ФерГУ**

Издаётся с 1995 года
Выходит 6 раз в год

Aniq va tabiiy fanlar

FIZIKA– TEXNIKA

O‘.B.O‘ljayev, K. Mehmonov, I.D.Yadgarov, U.B.Xalilov

Vodorod adsorbsiyasida grafendagi nuqsonlarning roli 6

A.Sh.Raximov

Avtomobil dvigatellarining asosiy turlari va ish sikli..... 13

Sh.A.Muminova, I.D. Yadgarov, O‘.B. O‘ljayev

Azot atomlarining turli xil haroratdagi uglerodli nanotrubkalarga ta’siri 22

KIMYO

I.R.Asqarov, M.A.Axmadaliev, N.M.Yakubova

Furfuralning xalq iqtisodiyotidagi ahamiyati 28

S.A.Mamatqulova, I.R.AsqarovOddiy arpabodiyon (*Pimpinella anisum L.*) tarkibidagi biologik faol moddalarning antioksidantlik faolligini aniqlash..... 33**X.V.Qoraboyev, N.Sh.Azimov***Indigofera tinctoria* Linn o’simligi tarkibidagi umumiyoq qosil miqdorini o’rganish 39**J.B.Mavlonov, Sh.N.Turemuratov, B.Ch.Nurimbetov, E.A.Eseyova**

Jamansay koni dolomitini o’rganish..... 45

A.A.Xamzaxo‘jayev, M.I.Payg‘amova, G‘.M.Ochilov, R.A.Payg‘amov

Ikkilamchi xomashyolar asosida uglerodli adsorbentlar olish va ularning fizik-kimyoviy xossalari o’rganish 50

X.V.Isroilova, B.Y.Abdug‘aniyev, A.B.Perdebayev

Tashqi iqtisodiy faoliyatda polimerlarning nazariy va huquqiy jihatlari 54

BIOLOGIYA

I.I.ZokirovSabzavot–poliz agrobiotsenozi larida tasodifiy uchrovchi adventivlar
(Markaziy Farg’ona hududi misolida) 60**M.R.Shermatov***Mythimna unipunctana*ning rivojlanishi hamda morfologik xususiyatlari ozuqa o’simligining ta’siri 64**V.Maxmudov, J.O.Mamarasulov**

Farg’ona vodiysi florasida burchoqdoshlar (Fabaceae) oilasiga mansub endem turlarni muhofazasi 74

G.M.ZokirovaFarg’ona vodiysida ilk marta qayd etilgan *Pineus strobi* hartig, 1839 (Hemiptera, Adelgidae)
turining bioekologiyasi 77**A.E.To‘Iqinov**

Plankton organizmlarga xos xususiyatlar tahlili 80

Y.Qayumova, Ch.AbduqaxhorovaIskandariya (*iskandaria prokofiev*, 2009) urug’i turlarining Farg’ona vodiysi chuchuk suv havzalari bo‘ylab tarqalishi 83

GEOGRAFIYA

T.J.Jumayev, Sh.B.Qurbanov, E.D.Hamdamov

O‘zbekiston tog‘li hududlarida rekreatsiyani rivojlantirish va hududiy tashkil etishning ba’zi masalalari 87

O.I.Abdug‘aniyev, E.G.Mahkamov, H.R.Abdullayeva

Turistik-rekreatsion tizimlarni shakllantirishda mintaqaning ijtimoiy-iqtisodiy imkoniyatlarini baholash 94

AZOT ATOMLARINING TURLI XIL HARORATDAGI UGLERODLI NANOTRUBKALARGA TA'SIRI

ВЛИЯНИЕ АТОМОВ АЗОТА НА УГЛЕРОДНЫЕ НАНОТРУБКИ ПРИ РАЗНЫХ ТЕМПЕРАТУРАХ

THE INFLUENCE OF NITROGEN ATOMS ON CARBON NANOTUBES AT DIFFERENT TEMPERATURES

¹Muminova Shahnozaxon Akbarxanovna

O'zbekiston Respublikasi Fanlar Akademiyasi, Ion-Plazma va Lazer Texnologiyalari Instituti, tayanch doktorant

²Yadgarov Ishmumin Djabbarovich

O'zbekiston Respublikasi Fanlar Akademiyasi, Ion-Plazma va Lazer Texnologiyalari Instituti, f-m.f.d, professor

³O'ljayev O'tkir Boymamatovich

O'zbekiston Respublikasi Fanlar Akademiyasi, Ion-Plazma va Lazer Texnologiyalari Instituti, tayanch doktorant

Annotatsiya

Azot qo'shilgan uglerod nanotubalari noyob xususiyatlari va potentsial qo'llanilishi tufayli materialshunoslik sohasida katta e'tiborni tortmoqda. Shu sababli, ushbu tadqiqotda ikki qavatli uglerod nanotrubka (IQUNT) ga azot atomlarining adsorbsiyasiga turli xil harorat (ya'ni, 300, 600 va 900 K) va bosim (1, 5 va 10 bar) ning ta'siri reaktiv o'zaro ta'sir (ReaxFF) potentsialidan foydalangan holda molekulyar dinamika (MD) metodi yoradamida simulyatsiya qilish orgali o'rGANildi. Tadqiqotlar natijasi shuni ko'rsatadi, IQUNT sirtiga azot atomlarining yaxshi adsorbsiyasiga erishishda harorat va bosimning ta'siri yuqori bo'lib, eng yaxshi adsorbsiya ko'rsatgichi 300 K harorat va 10 bar bosmida bo'lib, 79% ni tashkil qildi.

Ushbu tadqiqot IQUNT va azot atomlari orasidagi o'zaro ta'simi tashqi parametrlarga bog'liqligini tushunishga yordam beradi.

Аннотация

Углеродные нанотрубки, адсорбированные азотом, привлекают большое внимание в области материаловедения благодаря своим уникальным свойствам и возможностям применения. Поэтому в данной работе было исследовано влияние различных температур (т.е. 300, 600 и 900 К) и давлений (1, 5 и 10 бар) на адсорбцию атомов азота на двухслойные углеродные нанотрубки (ДСУНТ). Исследования были проведены методом моделирования молекулярной динамики (МД) с использованием потенциала (ReaxFF). Результаты исследований показывают, что влияние температуры и давления на достижение хорошей адсорбции атомов азота на поверхности ДСУНТ велико, а лучший показатель адсорбции был при температуре 300 К и давлении 10 бар, который составил 79 %.

Данное исследование помогает понять взаимодействие ДСУНТ с атомами азота в зависимости от внешних параметров.

Abstract

Nitrogen adsorbed carbon nanotubes attract a lot of attention in the field of materials science due to their unique properties and application possibilities. Therefore, in this work, the influence of various temperatures (i.e. 300, 600 and 900 K) and pressures (1, 5 and 10 bar) on the adsorption of nitrogen atoms on double-layer carbon nanotubes (DSNTS) was investigated. The studies were carried out by the method of molecular dynamics modeling (MD) using the potential (ReaxFF). The results of the studies show that the influence of temperature and pressure on achieving good adsorption of nitrogen atoms on the surface of the DSNT is great, and the best adsorption rate was at a temperature of 300 K and a pressure of 10 bar, which was 79%.

This study helps to understand the interaction of DSNTS with nitrogen atoms depending on external parameters.

Kalit so'zlar: ikki qavatli uglerod nanotrubka, azot adsorbsiyasi, molekulyar dinamika, chirallik.

Ключевые слова: двухслойная углеродная нанотрубка, адсорбция азота, молекулярная динамика, хиральность.

Key words: double-walled carbon nanotubes, nitrogen adsorption, molecular dynamics simulation, chirality.

KIRISH

1991-yilda S.ijima tomonidan kashf etilgan[1] uglerod nanotrubka (UNT) lari fizika, kimyo, materialshunoslik kabi turli sohalarda katta qiziqish uyg'otdi [2,3]. UNTlar kashf etilganidan buyon noyob xususiyatlari va potensial qo'llanilishi tufayli keng ko'lamli tadqiq qilingan. UNT elektron qurilmalar [4,5,6], adsorbentlar [7,8,9] va boshqa ko'plab imkoniyatlari tufayli keng o'rganilib kelinmoqda. Bundan tashqari, UNTlar o'zlarining noyob xususiyatlari tufayli turli sohalarda, jumladan elektronika, energiya saqlash [10] va biomeditsinada [11,12,13] keng qo'llanilishi mumkin bo'lgan materiallardan biridir.

Har xil turdag'i UNTlar orasida ikki devorli uglerod nanotrubkalari (IQUNT) barqarorligi va mexanik xususiyatlarining yaxshiligi tufayli keng miqyosda o'rganilmoqda [14,15,16,17]. IQUNTlarning boshqa atomlar, xususan, bor (B) [18], azot (N) [19,20,21], kaltsiy (Ca) [22], palladiy (Pd) [23,24] va platina (Pt) [25] bilan o'zaro ta'siri so'nggi yillarda keng qamrovda o'rganilmoqda. Ayniqsa bu elementlar orasida UNTlarga azot (N) adsorbsiyasi energiyani saqlash [26] va katalizator [27] kabi turli sohalarda qo'llanilishi tufayli, unga so'nggi yillarda katta e'tibor qaratilmoqda.

IQUNTlarga turli xil usulda N atomlarining adsorbsiyasi va doping qilish yordamida ularning mexanik, elektr va optik xususiyatlarini o'zgartirish mumkinligi sababli, bular so'nggi yillarda istiqbolli sohalar sifatida o'rganilmoqda [19,20,21,28,29]. IQUNTlarda azotning adsorbsiya jarayonini tushunish gazni aniqlash va ajratish uchun samarali nanomateriallarni hosil qilish uchun juda muhim. IQUNTlarda azotning adsorbsiyasi naycha diametri va devor egriligi (chirallik) [19] kabi turli omillarga bog'liq bo'ladi. IQUNTga N atom va molekulalarining adsorbsiya bo'yicha turli xil tadqiqotlar o'rganilayotganiga qaramay ular orasidagi ta'sir mexanizmlarini o'rganish bo'yicha hali ham muammolar mavjud.

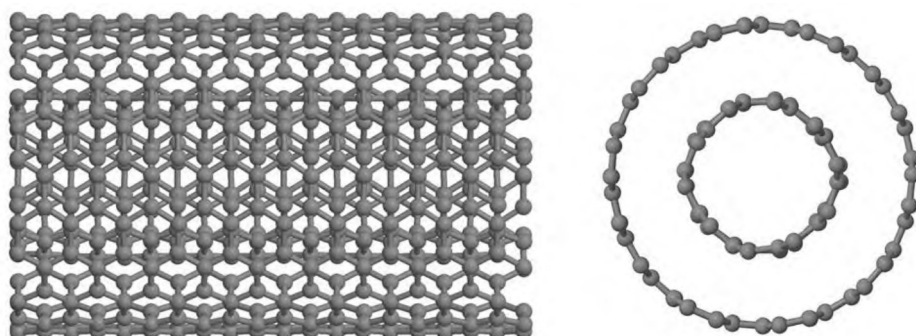
Ushbu tadqiqot molekulyar dinamika (MD) simulyatsiyalaridan foydalangan holda turli harorat va bosimlarda IQUNTlarda N atomlarining adsorbsiya mexanizmlarini o'rganishdan iborat.

HISOBLASH USULLARI

Tadqiqotda jarayonlarni modellashtirish reaktiv molekulyar dinamika (MD) ga asoslangan LAMMPS dasturiy to'plam orqali amalga oshirildi [30,31]. Simulyatsiyadagi atomlar orasidagi o'zaro ta'sirni baholash uchun ReaxFF ptenziali [32] ishlatalgan. MD simulyatsiyalarida IQUNT modeli sifatida toza (5,5@10,10) nanotrubka tanlangan (1-rasm) bo'lib, IQUNT diametri (D) quyidagi (1) tenglama yordamida hisoblangan:

$$D = \frac{\sqrt{3}}{\pi} R_{C-C} (a^2 + ab + b^2)^{\frac{1}{2}} \quad (1)$$

bu yerda R_{C-C} – grafendagi uglerod atomlari orasidagi bog'lanish uzunligi bo'lib, 1,42 Å ga teng. a , b - xirallik indekslari.



1-rasm. (5,5)@(10,10) xirallikli kki qavatli uglerodli nanotrubka (IQUNT) modeli.

Tanlangan IQUNT diametrlari 6,78 Å va 13,57 Å ni tashkil etib, eksperimental ravishda olingan nanotrubka diametrlari (6,3 Å–7,9 Å) va (13 Å–16 Å) [33] oralig'ida. UNTning geometrik modellari tegishli o'chamdag'i va bog'lanish uzunligi 1,41 Å [34] bo'lgan grafen qatlami uchun olingan. Davriy chegara shartlari cheksiz uzunlikdagi IQUNTlarni z o'qi bo'yicha qo'llanilgan.

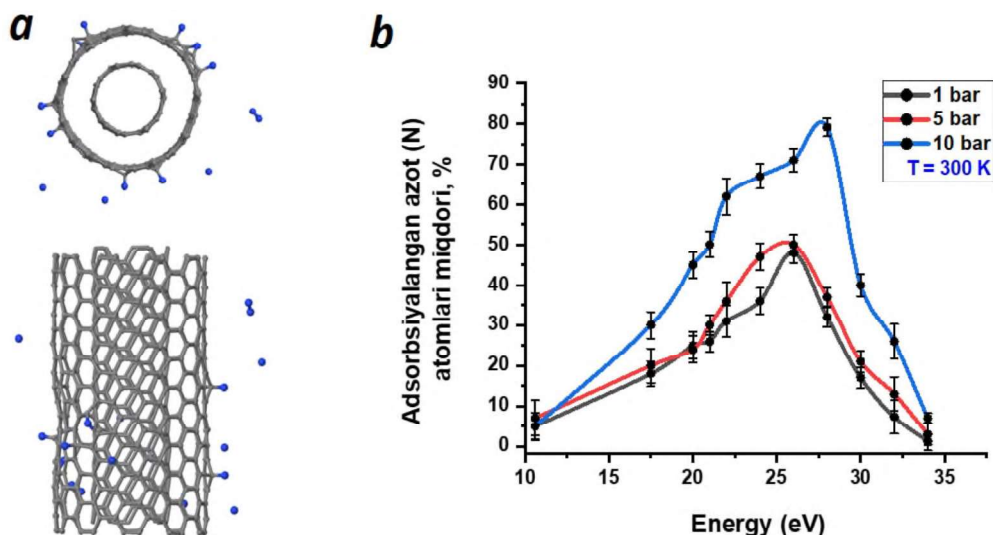
Tizimlarning harorati Berendsen termo-barostat (NpT) [35] yordamida 0,1 K/ps qizdirish tezligi bilan isitildi. Bu yerda NpT termobarostatidagi N -zarralar soni, p -bosim va T -harorat bo'lib, ular doimiy ravishda saqlanadi. Tanlangan isitish tezligi oldingi tadqiqotlarda qayd etilgan qiyomatlar

oralig'iqa ($0,1-10,0 \text{ K/ps}$) mos keladi [36]. Keyin, bu isitilgan tizimlar (ya'ni, IQUNT) Bussi termostatida (NVT) 100 ps davomida ushlab turilgan. Bu yerda NVT termostatidagi N -zarralar soni, V -hajm va T -harorat bo'lib, ular doimiy ravishda saqlanadi. Ushbu tadqiqotdagi simulyatsiyalar turli xil bosim (ya'ni, $1, 5$ va 10 atm.) va harorat (ya'ni, $300, 600, 900 \text{ K}$) da amalga oshirilgan bo'lib, N atomlari turli xil energiyada ushbu qizdirilgan IQUNT tizimlariga ixtiyoriy ravishda tashlandi. IQUNT ($5,5@10,10$) yuzasiga tushgan N atomlarining bosimi (2) tenglama yordamida har bir harorat uchun hisoblandi [37]:

$$p = J\sqrt{2\pi MRT/N_A}, \quad (2)$$

Bu yerda, J - to'qnashish oqimi ($\text{nm}^2 \cdot \text{ns}^{-1}$), N_A - Avagadro soni, R - universal gaz doimisi, M - azot atomlarning molar massasi va T - tizimning harorati.

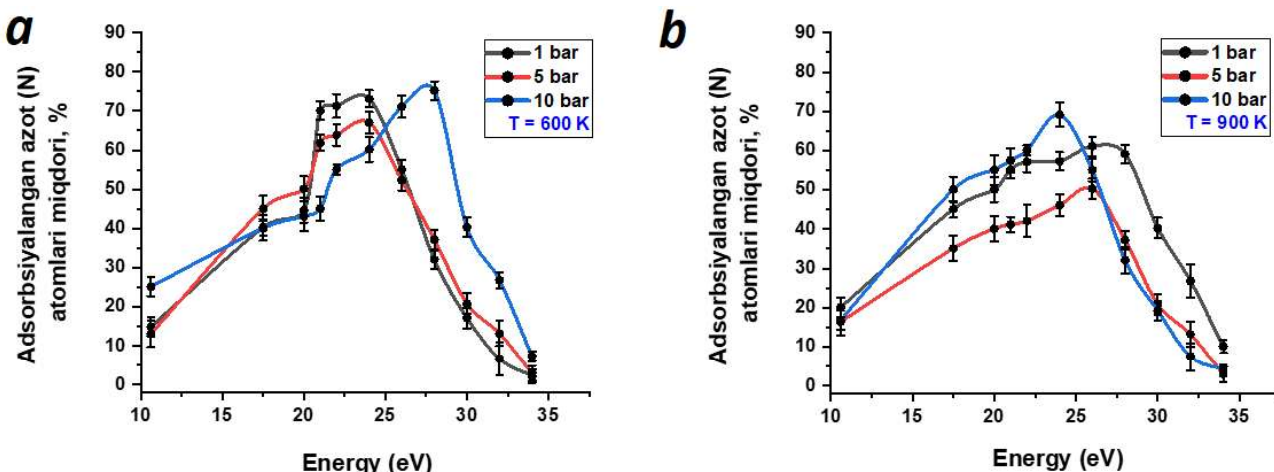
Simulyatsiyalarda IQUNT($5,5@10,10$) sirtiga har bir N atomlari 10 ps oralig'i bilan tashlangan va har bir N atom va model tizim o'rtafiga minimal masofa 10\AA qilib tanlangan. Barcha MD simulyatsiyalarida 2 ns umumiy simulyatsiya vaqt uchun $0,1 \text{ fs}$ vaqt qadami ishlatalgan. Simulyatsiyalar har bir tadqiqot ishi uchun kamida 5 marta takrorlangan va yakuniy natijalar olingan qiymatlarni o'rtacha hisoblash orqali olingan.



2 a,b-rasm. a) IQUNTga adsorbsiyalangan azot atomlarining yon va tog'ridan ko'rinishi, b)IQUNT sirtiga adsorbsiyalangan atomlar miqdorining azot atomlari energiyasiga bog'liqligi.

NATIJALAR VA MUHOKAMA

Ushbu simulyatsiya $1, 5$ va 10 bar bosim bilan $300 \text{ K}, 600 \text{ K}$ va 900 K haroratda amalga oshirildi. 2- tenglama har bir haroratda doimiy bosim hosil qilishda boshlang'ich sharoitlarda azot miqdorini aniqlash uchun ishlataladi. Adsorbsiya jarayonining ikki turi mavjud bo'lib, fizisorbsiya (van-der-Vaals kuchlari, elektrostatik qutblanish o'zaro ta'sirning tabiatini aniqlaydi) va xemisorbsiya (Kulon kuchlari va boshqalar) ga bo'linadi [38,39]. Ushbu tadqiqotda IQUNT ($5,5@10,10$) yuzasida N atomlarining adsorbsiya darajasi tizimning temperaturasiga va sirtidagi atomlar bosimiga bog'liq (2, 3, 4-a,b-rasm) holda hisoblangan. Natijalardan ko'rish mumkinki, har xil haroratli (ya'ni $300, 600, 900 \text{ K}$) tizimlar uchun turli bosimlarda (ya'ni $1, 5, 10 \text{ bar}$) IQUNT yuzasiga adsorbsiyalangan N atomlar soni ham o'zgargan. 300 K haroratda adsorbsiyalangan atomlar soni (bosim) ning ortishi bilan adsorbsiyalangan N atomlar soni mos ravishda ortdi (2a,b-rasm). Jumladan, 1 bar bosimda IQUNT ga adsorbsiyalangan N atomlarining miqdori (%) $4-48\%$ oralig'ida bo'lsa, 5 va 10 bar bosimlarda mos ravishda $6-50\%$ va $5-79\%$ oralig'ida bo'ldi. Boshqacha qilib aytganda, nanotrubkada adsorbsiyalangan N atomlar miqdorining (%) maksimal qiymati $1, 5$ va 10 bar bosimlarda mos ravishda $48\%, 50\%$ va 79% ni tashkil etdi.



3 a,b-rasm. IQUNT sirtiga adsorbsiyalangan atomlar miqdorining azot atomlari energiyasiga bog'liqligi.

600 K haroratda 1 bar bosimda 4-73% ga teng bo'lgan bo'lsa, 5 va 10 bar bosimda mos ravishda 3-67% va 25-75% oralig'ida bo'ladi (3a-rasm). Boshqacha qilib aytganda, nanotrubkada adsorbsiyalangan N atomlar miqdorining (%) maksimal qiymati 1, 5 va 10 barda 600 K uchun mos ravishda 73%, 67% va 75% ga teng bo'ldi. 900 K haroratlari tizim uchun 1 bar bosimda 4-67% ga teng bo'lsa, 5 va 10 bar bosimda mos ravishda 5-50% va 3-69% oralig'ida bo'ladi (3b-rasm). Boshqacha qilib aytganda, nanotubkada adsorbsiyalangan N atomlar miqdorining (%) maksimal qiymati 1, 5 va 10 bar bosimdagagi 900 K uchun mos ravishda 67%, 50% va 69% ni tashkil etdi.

IQUNTLari yuzasida azot atomlarining adsorbsiyasiga harorat ham bir necha jihatdan ta'sir qiladi. Yuqori haroratlarda tizim (IQUNT) ning issiqlik energiyasi (tebranish energiyasi) ortadi, bu adsorbsiyalangan azot atomlarining sirtdan desorbsiyasiga olib kelishi mumkin. Natijada bu yuqori haroratlarda nanotrubka yuzasida adsorbsiyalangan azot atomlari ko'rsatgichi (%) pasayib ketishiga sabab bo'ladi. Undan tashqari, IQUNT sirtiga tushayotgan azot atomlarining sonining ko'payishi (ya'ni, Bosimning ortishi) hisobiga azot atomlarining nanotrubka yuzasiga tushish ko'rsatgichi ortadi. UNT yuzasiga adsorbsiyalangan azot atomlariga sirtga tushayotgan boshqa azot atomlari ta'sir qiladi va birgalikda molekula sifatida qo'shilib Langmuir-Hinshelvud rekombinatsiya mexanizmi tufayli desorbsiyalanishi (ya'ni, ikki sirt N atomlari bir-biriga kovalent bog'lanib, azot (N_2) molekulasini hosil qiladi) sodir bo'ladi [40]. Shuning uchun nanotrubka yuzasida azot atomlarining adsorbsiyasi tushayotgan N atomlari bosimi ortishi bilan tizim haroratiga mos ravishda o'zgarishi mumkin, va bu natijada tizim haroratining o'zgarishi (ortishi yoki kamayishi) nanotrubka yuzasida azot atomlarining yutilish energiyasiga ta'sir qilishi mumkin. Odatda, yuqori haroratlarda IQUNT dagi uglerod - uglerod (C-C) atomlari orasidagi bog'lanish zaiflashadi va bu natijada adsorbsiya energiyasining pasayishiga olib keladi.

Uglerod nanotrubkalarida azot atomlari soni ortishi bilan ularning adsorbsion xossalari o'zgaradi. Azot qo'shilgan uglerod nanotrubkalari (N-UNT) sof UNTlarga nisbatan ma'lum gazlar uchun yuqori adsorbsiya qobiliyatiga ega ekanligi aniqlangan. Xususan, IQUNTLarda adsorbsiyalangan azot atomlari soni ma'lum bir azot adsorbsiyasiga qadar ortib borishi bilan adsorbsiya energiyasi ortib boradi. Adsorbsiya energiyasi maksimalga yetib borib, keyin kamayishni boshlashi kuzatilgan. Bu amin, piridin va pirrol azot kabi turli funksional guruhlarning mavjudligi bilan bog'liq. Ushbu azotli tizimlar sirt maydonini oshirish va nanotrubkaning elektron xususiyatlarini o'zgartirish uchun nanotrubka sirtida faol joylarni ta'minlaydi.

Umuman olganda, haroratning IQUNT lari yuzasida azot atomlarining adsorbsiyasiga ta'siri yuqori haroratlarda diffuziya tezligining oshishi va adsorbsiya energiyasining kamayishi hamda adsorbsiyaning o'zgarishiga bog'liq bo'ladi.

XULOSA

Ushbu MD simulyatsiyasi IQUNTda azot atomlarining adsorbsiya mexanizmini to'gri tasvirlashga yordam beradi. Tizim harorati 300 K da IQUNT tomonidan azot adsorbsiyasi yuqori

haroratlarga (600 K va 900 K) qaraganda azot konsentratsiyasining yuqori miqdoriga ega bo'ldi. Bir xil bosimda harorat ko'tarilishi bilan, adsorbsiyalangan azot miqdori kamayadi. Adsorbsiyalangan azot miqdori doimiy haroratda bosimning oshishi bilan mos ravishda ortib boradi. Ushbu simulyatsiyada IQUNTda azot adsorbsiyasi uchun optimal harorat va bosim mos ravishda 300 K va 10 bar bo'lib, adsorbsiya qiymati 79% ni tashkil qildi.

ADABIYOTLAR RO'YXATI

- [1] S. Iijima, «Helical microtubules of graphitic carbon», *Nature*, t. 354, vol. 6348, pp. 56–58, 1991, doi: 10.1038/354056a0.
- [2] S. Iijima, «Carbon nanotubes: past, present, and future», *Phys. B Condens. Matter*, t. 323, vol. 1–4, pp. 1–5, 2002, doi: 10.1016/S0921-4526(02)00869-4.
- [3] D. Gupta, B. P. Choudhary, N. B. Singh, and N. S. Gajbhiye, «Carbon nanotubes: an overview», *Emerg. Mater. Res.*, t. 2, vol. 6, cc. 299–337, 2013, doi: 10.1680/emr.12.00043.
- [4] S. Frank, P. Poncharal, Z. L. Wang, and W. A. D. Heer, «Carbon Nanotube Quantum Resistors», *Science*, t. 280, vol. 5370, pp. 1744–1746, 1998, doi: 10.1126/science.280.5370.1744.
- [5] S. J. Tans, A. R. M. Verschueren, and C. Dekker, «Room-temperature transistor based on a single carbon nanotube», *Nature*, t. 393, vol. 6680, cc. 49–52, 1998, doi: 10.1038/29954.
- [6] A. Javey, J. Guo, Q. Wang, M. Lundstrom, and H. Dai, «Ballistic carbon nanotube field-effect transistors», *Nature*, t. 424, vol. 6949, pp. 654–657, 2003, doi: 10.1038/nature01797.
- [7] Y.-H. Li, S. Wang, Z. Luan, J. Ding, C. Xu, и D. Wu, «Adsorption of cadmium (II) from aqueous solution by surface oxidized carbon nanotubes», *Carbon*, 41, vol. 5, pp. 1057–1062, 2003, doi: 10.1016/S0008-6223(02)00440-2.
- [8] G. Rao, C. Lu, и F. Su, «Sorption of divalent metal ions from aqueous solution by carbon nanotubes: A review», *Sep. Purif. Technol.*, 58, vol. 1, pp. 224–231, 2007, doi: 10.1016/j.seppur.2006.12.006.
- [9] L. Ai and all., «Removal of methylene blue from aqueous solution with magnetite loaded multi-wall carbon nanotube: Kinetic, isotherm and mechanism analysis», *J. Hazard. Mater.*, 198, pp. 282–290, 2011, doi: 10.1016/j.jhazmat.2011.10.041.
- [10] G. E. Froudakis, «Hydrogen storage in nanotubes & nanostructures», *Mater. Today*, t. 14, vol. 7–8, pp. 324–328, 2011, doi: 10.1016/S1369-7021(11)70162-6.
- [11] B. O. Murjani, P. S. Kadu, M. Bansod, S. S. Vaidya and M. D. Yadav, «Carbon nanotubes in biomedical applications: current status, promises, and challenges», *Carbon Lett.*, 32, vol. 5, pp. 1207–1226, 2022, doi: 10.1007/s42823-022-00364-4.
- [12] T. Saliev, «The Advances in Biomedical Applications of Carbon Nanotubes», *C*, 5, vol. 2, p. 29, 2019, doi: 10.3390/c5020029.
- [13] V. Negri, J. Pacheco-Torres, D. Calle, и P. López-Larrubia, «Carbon Nanotubes in Biomedicine», *Top. Curr. Chem.*, 378, vol. 1, p. 15, 2020, doi: 10.1007/s41061-019-0278-8.
- [14] S.-P. Ju and op., «A molecular dynamics study of the mechanical properties of a double-walled carbon nanocoil», *Comput. Mater. Sci.*, 82, pp. 92–99, 2014, doi: 10.1016/j.commatsci.2013.09.024.
- [15] V. Zólyomi and all., «Intershell interaction in double walled carbon nanotubes: Charge transfer and orbital mixing», *Phys. Rev. B*, 77, vol. 24, p. 245403, 2008, doi: 10.1103/PhysRevB.77.245403.
- [16] M. Soto and all., «Effect of interwall interaction on the electronic structure of double-walled carbon nanotubes», *Nanotechnology*, 26, vol. 16, p. 165201, 2015, doi: 10.1088/0957-4484/26/16/165201.
- [17] K. Fujisawa and all., «A Review of Double-Walled and Triple-Walled Carbon Nanotube Synthesis and Applications», *Appl. Sci.*, 6, vol. 4, p. 109, 2016, doi: 10.3390/app604109.
- [18] T. Koretsune and S. Saito, «Electronic structures and three-dimensional effects of boron-doped carbon nanotubes», *Sci. Technol. Adv. Mater.*, 9, vol. 4, p. 044203, 2008, doi: 10.1088/1468-6996/9/4/044203.
- [19] K.-Y. Chun, H. S. Lee, and C. J. Lee, «Nitrogen doping effects on the structure behavior and the field emission performance of double-walled carbon nanotubes», *Carbon*, 47, vol. 1, pp. 169–177, 2009, doi: 10.1016/j.carbon.2008.09.047.
- [20] Q. Wei, X. Tong, G. Zhang, J. Qiao, Q. Gong, and S. Sun, «Nitrogen-Doped Carbon Nanotube and Graphene Materials for Oxygen Reduction Reactions», *Catalysts*, 5, vol. 3, pp. 1574–1602, 2015, doi: 10.3390/catal5031574.
- [21] E. N. Nxumalo и N. J. Coville, «Nitrogen Doped Carbon Nanotubes from Organometallic Compounds: A Review», *Materials*, 3, vol. 3, pp. 2141–2171, 2010, doi: 10.3390/ma3032141.
- [22] S. H. De Paoli Lacerda, J. Semerová, K. Holada, O. Simakova, S. D. Hudson, and J. Simak, «Carbon Nanotubes Activate Store-Operated Calcium Entry in Human Blood Platelets», *ACS Nano*, 5, vol. 7, pp. 5808–5813, 2011, doi: 10.1021/nn2015369.
- [23] H. Wu, D. Wexler, and H. Liu, «Effects of different palladium content loading on the hydrogen storage capacity of double-walled carbon nanotubes», *Int. J. Hydrog. Energy*, 7, vol. 7, pp. 5686–5690, 2012, doi: 10.1016/j.ijhydene.2011.12.120.
- [24] M. Zou, Y. Aono, S. Inoue, и Y. Matsumura, «Response of Palladium and Carbon Nanotube Composite Films to Hydrogen Gas and Behavior of Conductive Carriers», *Materials*, 13, vol. 20, p. 4568, 2020, doi: 10.3390/ma13204568.
- [25] D. Xia and all., «Extracting the inner wall from nested double-walled carbon nanotube by platinum nanowire: molecular dynamics simulations», *RSC Adv.*, 7, vol. 63, pp. 39480–39489, 2017, doi: 10.1039/C7RA07066G.

FIZIKA-TEXNIKA

- [26] F. Shojaie, «N₂ adsorption on the inside and outside the single-walled carbon nanotubes by density functional theory study», *Pramana*, 90, vol.1, p.4, 2018, doi: 10.1007/s12043-017-1498-5.
- [27] M. Jamshidi, M. Razmara, B. Nikfar, and M. Amiri, «First principles study of a heavily nitrogen-doped (10,0) carbon nanotube», *Phys. E Low-Dimens. Syst. Nanostructures*, 103, pp. 201–207, 2018, doi: 10.1016/j.physe.2018.06.003.
- [28] C. Zhao, Y. Lu, H. Liu, и L. Chen, «First-principles computational investigation of nitrogen-doped carbon nanotubes as anode materials for lithium-ion and potassium-ion batteries», *RSC Adv.*, 9, vol. 30, pp. 17299–17307, 2019, doi: 10.1039/C9RA03235E.
- [29] J. D. Correa, E. Florez, и M. E. Mora-Ramos, «Ab initio study of hydrogen chemisorption in nitrogen-doped carbon nanotubes», *Phys. Chem. Chem. Phys.*, т. 18, vol. 36, cc. 25663–25670, 2016, doi: 10.1039/C6CP04531F.
- [30] A. P. Thompson и др., «LAMMPS - a flexible simulation tool for particle-based materials modeling at the atomic, meso, and continuum scales», *Comput. Phys. Commun.*, 271, p. 108171, 2022, doi: 10.1016/j.cpc.2021.108171.
- [31] B. J. Alder and T. E. Wainwright, «Phase Transition for a Hard Sphere System», *J. Chem. Phys.*, 27, vol. 5, pp. 1208–1209, 1957, doi: 10.1063/1.1743957.
- [32] K. Chenoweth, A. C. T. Van Duin, and W. A. Goddard, «ReaxFF Reactive Force Field for Molecular Dynamics Simulations of Hydrocarbon Oxidation», *J. Phys. Chem. A*, 112, vol. 5, pp. 1040–1053, 2008, doi: 10.1021/jp709896w.
- [33] G. Chenand all., «Chemically Doped Double-Walled Carbon Nanotubes: Cylindrical Molecular Capacitors», *Phys. Rev. Lett.*, 90, vol. 25, p. 257403, 2003, doi: 10.1103/PhysRevLett.90.257403.
- [34] J. Kürti, V. Zólyomi, M. Kertesz, and S. Guangyu, «The geometry and the radial breathing mode of carbon nanotubes: beyond the ideal behaviour», *New J. Phys.*, 5, pp. 125–125, 2003, doi: 10.1088/1367-2630/5/1/125.
- [35] H. J. C. Berendsen, J. P. M. Postma, W. F. Van Gunsteren, A. DiNola, and J. R. Haak, «Molecular dynamics with coupling to an external bath», *J. Chem. Phys.*, 81, vol. 8, pp. 3684–3690, 1984, doi: 10.1063/1.448118.
- [36] J. Sun, P. Liu, M. Wang, и J. Liu, «Molecular Dynamics Simulations of Melting Iron Nanoparticles with/without Defects Using a Reaxff Reactive Force Field», *Sci. Rep.*, 10, vol. 1, p. 3408, 2020, doi: 10.1038/s41598-020-60416-5.
- [37] D. Ugarte, A. Châtelain, and W. A. De Heer, «Nanocapillarity and Chemistry in Carbon Nanotubes», *Science*, 274, vol. 5294, pp. 1897–1899, 1996, doi: 10.1126/science.274.5294.1897.
- [38] J. Tao and A. M. Rappe, «Physical Adsorption: Theory of van der Waals Interactions between Particles and Clean Surfaces», *Phys. Rev. Lett.*, 112, vol. 10, p. 106101, 2014, doi: 10.1103/PhysRevLett.112.106101.
- [39] F.F. Vol'kenshteyn, «Physical Chemistry of the Surface of Semiconductors». 1973 y.
- [40] T. Zecho, A. Gütter, X. Sha, D. Lemoine, B. Jackson, and J. Küppers, «Abstraction of D chemisorbed on graphite (0001) with gaseous H atoms», *Chem. Phys. Lett.*, 366, vol. 1–2, pp. 188–195, 2002, doi: 10.1016/S0009-2614(02)01573-7.